

二维不可压缩流体 Kelvin-Helmholtz 不稳定性的二次谐波产生*

王立锋¹⁾ 叶文华^{2)†} 李英骏¹⁾

1) 中国矿业大学(北京)北京 100083)

2) 北京应用物理与计算数学研究所 北京 100088)

3) 浙江大学物理系 杭州 310028)

(2007 年 7 月 24 日收到, 2007 年 9 月 13 日收到修改稿)

推导了 Kelvin-Helmholtz(KH)不稳定性二次谐波产生的理论公式, 利用该公式得到的二次谐波增长的弱非线性结果与 LARED-S 程序的模拟结果符合. 二维模拟定出了 KH 不稳定性单模非线性增长的阈值.

关键词: Kelvin-Helmholtz 不稳定性, 二次谐波产生, 非线性阈值

PACC: 5235, 4720, 4735

1. 引 言

当两种流体的交界面出现切向速度间断时, 流体界面是不稳定的, 产生 Kelvin-Helmholtz(KH)不稳定性^[1]. KH 不稳定性出现在许多自然现象中, 如由风所引起的水面波, 波状云, 射流液体的珠化和雾化等. KH 不稳定性在惯性约束聚变(ICF)、超新星爆炸和星系演化、Z-pinch 内爆、大气和海洋混合层、晶体生长等方面有重要作用. Rayleigh-Taylor(RT)或 Richtmyer-Meshko(RM)不稳定性发展后期, 在尖顶头部, 轻、重流体沿表面的速度差增大, KH 不稳定性被激发, 形成翻滚的“蘑菇”形状结构, 之后“蘑菇”状破碎, 形成小尺度混合. KH 不稳定性的出现加重了 RT 或 RM 不稳定性后期的非线性发展, 大量的小尺度结构被激发, 加剧了界面附近流体块团的混合过程. KH 不稳定性还是产生湍流混合的主要物理过程. 文献 [2—4] 总结和讨论了这方面的很多工作.

本文给出了 KH 不稳定性二次谐波产生的弱非线性理论结果, 并与二维数值模拟结果进行了比较, 数值模拟讨论了初始单模扰动情况 KH 不稳定性的非线性阈值问题.

2. 二维 KH 不稳定性的二次谐波理论

在两层不可压缩流体的界面 $F(\mathbf{r}, t) = 0$ 上^[5] 压力相等条件为

$$\rho \left\{ \frac{\partial \Phi_1}{\partial t} + \frac{1}{2} (\nabla \Phi_1)^2 + f_1(t) \right\} = \rho_2 \left\{ \frac{\partial \Phi_2}{\partial t} + \frac{1}{2} (\nabla \Phi_2)^2 + f_2(t) \right\}, \quad (1)$$

其中 ρ_i 为密度, Φ_i 为速度势, $f_i(t)$ 为仅依赖时间 t 的任意函数, 界面一侧的量以下标“1”表示, 另一侧以下标“2”表示.

法向速度连续条件为

$$-\frac{\partial F}{\partial t} = \nabla \Phi_1 \cdot \nabla F = \nabla \Phi_2 \cdot \nabla F. \quad (2)$$

考虑两层流体各有一个沿 X 方向的有限速度 $u_i^{(0)}$ ($i = 1, 2$) 并忽略有势场. 这样速度势可以写为

$$\Phi_i = u_i^{(0)} x + \varphi_i(x, t), \quad (3)$$

这里 φ_i 是扰动速度势.

在界面 $y = 0$ 上将 φ_i 展开, 并代入边界条件(1)和(2), 得

* 国家自然科学基金(批准号: 10475011 和 10474137)和国家重点基础研究发展计划(973)项目(批准号: 2007CB815100)资助的课题.

† 通讯联系人, E-mail: ye_wenhua@iapcm.ac.cn

$$\begin{aligned} \eta_t &= -\eta_x u_1^{(0)} - \varphi_{1x} \eta_x + \varphi_{1y} + \varphi_{1yy} \eta = -\eta_x u_2^{(0)} - \varphi_{2x} \eta_x + \varphi_{2y} + \varphi_{2yy} \eta, \\ &\rho_1 \left\{ \varphi_{1t} + \varphi_{1y} \eta + u_1^{(0)} \varphi_{1x} + u_1^{(0)} \varphi_{1xy} \eta + \frac{1}{2} (u_1^{(0)2} + \varphi_{1x}^2 + \varphi_{1y}^2) \right\} \\ &= \rho_2 \left\{ \varphi_{2t} + \varphi_{2y} \eta + u_2^{(0)} \varphi_{2x} + u_2^{(0)} \varphi_{2xy} \eta + \frac{1}{2} (u_2^{(0)2} + \varphi_{2x}^2 + \varphi_{2y}^2) \right\}. \end{aligned} \quad (4)$$

将扰动速度势 φ_i 及界面位置 $\eta(x, t)$ 按小量 ε 展开, 即

$$\begin{aligned} \varphi_i &= \varepsilon \varphi_i^{(1)} + \varepsilon^2 \varphi_i^{(2)} + O(\varepsilon^3), \\ \eta &= \varepsilon \eta^{(1)} + \varepsilon^2 \eta^{(2)} + O(\varepsilon^3). \end{aligned} \quad (5)$$

代入(4)式, 比较同级量, 得

$$\begin{aligned} \eta_t^{(2)} &= -u_1^{(0)} \eta_x^{(2)} - \varphi_{1x}^{(1)} \eta_x^{(1)} + \varphi_{1y}^{(2)} + \varphi_{1yy}^{(2)} \eta^{(1)} = -u_2^{(0)} \eta_x^{(2)} - \varphi_{2x}^{(1)} \eta_x^{(1)} + \varphi_{2y}^{(2)} + \varphi_{2yy}^{(2)} \eta^{(1)}, \\ &\rho_1 \left\{ \varphi_{1t}^{(2)} + \varphi_{1y}^{(1)} \eta^{(1)} + u_1^{(0)} \varphi_{1x}^{(2)} + u_1^{(0)} \varphi_{1xy}^{(1)} \eta^{(1)} + \frac{1}{2} (u_1^{(1)2} + \varphi_{1y}^{(1)2}) \right\} \\ &= \rho_2 \left\{ \varphi_{2t}^{(2)} + \varphi_{2y}^{(1)} \eta^{(1)} + u_2^{(0)} \varphi_{2x}^{(2)} + u_2^{(0)} \varphi_{2xy}^{(1)} \eta^{(1)} + \frac{1}{2} (u_2^{(1)2} + \varphi_{2y}^{(1)2}) \right\}. \end{aligned} \quad (7)$$

各阶 φ_i 都满足 Laplace 方程.

设初始条件为

$$\begin{aligned} \eta^{(1)}(x, 0) &= \eta_0 \cos kx, \\ \eta_t^{(1)}(x, 0) &= 0, \\ \eta^{(2)}(x, 0) &= 0, \\ \eta_t^{(2)}(x, 0) &= 0, \\ \varphi_i^{(k)}(x, y, 0) &= 0. \end{aligned} \quad (8)$$

一阶近似解给出

$$\begin{aligned} \eta^{(1)} &= \frac{1}{2} \eta_0 (e^{\gamma t} + e^{-\gamma t}) \cos(kx - \omega t), \\ \varphi_1^{(1)} &= -\eta_0 \frac{u_1^{(0)} k - \omega}{2k} (e^{\gamma t} + e^{-\gamma t}) \sin(\omega t - kx) e^{-ky} \\ &\quad - \eta_0 \frac{1}{2k} \gamma (e^{\gamma t} - e^{-\gamma t}) \cos(\omega t - kx) e^{-ky}, \end{aligned}$$

一级量: $y=0$ 上有

$$\begin{aligned} \eta_t^{(1)} &= -u_1^{(0)} \eta_x^{(1)} + \varphi_{1y}^{(1)} = -u_2^{(0)} \eta_x^{(1)} + \varphi_{2y}^{(1)}, \\ \rho_1 \{ \varphi_{1t}^{(1)} + u_1^{(0)} \varphi_{1x}^{(1)} \} &= \rho_2 \{ \varphi_{2t}^{(1)} + u_2^{(0)} \varphi_{2x}^{(1)} \}. \end{aligned} \quad (6)$$

二级量: $y=0$ 上有

$$\begin{aligned} \varphi_2^{(1)} &= \eta_0 \frac{u_2^{(0)} k - \omega}{2k} (e^{\gamma t} + e^{-\gamma t}) \sin(\omega t - kx) e^{ky} \\ &\quad + \eta_0 \frac{1}{2k} \gamma (e^{\gamma t} - e^{-\gamma t}) \cos(\omega t - kx) e^{ky}, \end{aligned} \quad (9)$$

其中

$$\begin{aligned} \omega &= \frac{k}{\rho_1 + \rho_2} (\rho_1 u_1^{(0)} + \rho_2 u_2^{(0)}), \\ \gamma &= \frac{k}{\rho_1 + \rho_2} (u_1^{(0)} - u_2^{(0)}) \sqrt{\rho_1 \rho_2}. \end{aligned}$$

一阶近似解结果表明: 初始单模扰动振幅随时间指数增长, 由于存在相因子 ωt , 界面形状在速度剪切方向随时间产生波动, 这点与 RT 不稳定性很不同.

以一阶近似解代入二阶量所满足的边界条件, 即在 $y=0$ 上有

$$\begin{aligned} \eta_t^{(2)} &= -u_1^{(0)} \eta_x^{(2)} + \varphi_{1y}^{(2)} - \eta_0^2 k \frac{u_1^{(0)} k - \omega}{4} (e^{2\gamma t} + e^{-2\gamma t} + 2) \sin[2(\omega t - kx)] e^{-ky} \\ &\quad - \eta_0^2 k \frac{\gamma}{4} (e^{2\gamma t} + e^{-2\gamma t}) \cos[2(\omega t - kx)] e^{-ky}, \\ &= -u_2^{(0)} \eta_x^{(2)} + \varphi_{2y}^{(2)} + \eta_0^2 k \frac{u_2^{(0)} k - \omega}{4} (e^{2\gamma t} + e^{-2\gamma t} + 2) \sin[2(\omega t - kx)] e^{-ky} \\ &\quad + \eta_0^2 k \frac{\gamma}{4} (e^{2\gamma t} + e^{-2\gamma t}) \cos[2(\omega t - kx)] e^{-ky}, \end{aligned} \quad (10)$$

$$\rho_1 \left\{ \varphi_{1t}^{(2)} + u_1^{(0)} \varphi_{1x}^{(2)} + \frac{1}{4} \eta_0^2 (u_1^{(0)} \gamma k - \gamma \omega) (e^{2\gamma t} - e^{-2\gamma t}) \sin[2(\omega t - kx)] \right\}$$

$$\begin{aligned}
& + \frac{1}{8} \eta_0^2 (2u_1^{(0)} \omega k - \omega^2 + \gamma^2 - k^2 u_1^{(0)\Sigma} \{ e^{2\gamma} + e^{-2\gamma} + 2 \} \cos[\chi \omega t - kx]) \Big\} \\
= & \rho_2 \left\{ \varphi_{2t}^{(2)} + u_2^{(0)} \varphi_{2x}^{(2)} + \frac{1}{4} \eta_0^2 (u_2^{(0)} \gamma k - \gamma \omega \{ e^{2\gamma} - e^{-2\gamma} \} \sin[\chi \omega t - kx]) \right. \\
& \left. + \frac{1}{8} \eta_0^2 (2u_2^{(0)} \omega k - \omega^2 + \gamma^2 - k^2 u_2^{(0)\Sigma} \{ e^{2\gamma} + e^{-2\gamma} + 2 \} \cos[\chi \omega t - kx]) \right\}. \quad (11)
\end{aligned}$$

为了使 $\varphi_1^{(2)}$, $\varphi_2^{(2)}$ 既能满足 Laplace 方程, 又能满足无限远边界条件, 我们取

$$\begin{aligned}
\eta^{(2)} &= a(t) \cos \chi \omega t - kx + b(t) \sin \chi \omega t - kx, \\
\varphi_1^{(2)} &= [a_1(t) \cos \chi \omega t - kx + b_1(t) \sin \chi \omega t - kx] e^{-ky}, \\
\varphi_2^{(2)} &= [a_2(t) \cos \chi \omega t - kx + b_2(t) \sin \chi \omega t - kx] e^{ky}. \quad (12)
\end{aligned}$$

代入(10)和(11)式得

$$\begin{aligned}
& [\dot{a}(t) + 2\omega b(t)] \cos \chi \omega t - kx + [\dot{b}(t) - 2\omega a(t)] \sin \chi \omega t - kx \\
= & -2ku_1^{(0)} a(t) \sin \chi \omega t - kx + 2ku_1^{(0)} b(t) \cos \chi \omega t - kx - ka_1(t) \cos \chi \omega t - kx - kb_1(t) \sin \chi \omega t - kx \\
& - \eta_0^2 k \frac{u_1^{(0)} k - \omega}{4} (e^{2\gamma} + e^{-2\gamma} + 2) \sin[\chi \omega t - kx] - \eta_0^2 k \frac{\gamma}{4} (e^{2\gamma} + e^{-2\gamma}) \cos[\chi \omega t - kx] \\
= & -2ku_2^{(0)} a(t) \sin \chi \omega t - kx + 2ku_2^{(0)} b(t) \cos \chi \omega t - kx + ka_2(t) \cos \chi \omega t - kx + kb_2(t) \sin \chi \omega t - kx \\
& + \eta_0^2 k \frac{u_2^{(0)} k - \omega}{4} (e^{2\gamma} + e^{-2\gamma} + 2) \sin[\chi \omega t - kx] + \eta_0^2 k \frac{\gamma}{4} (e^{2\gamma} + e^{-2\gamma}) \cos[\chi \omega t - kx], \quad (13)
\end{aligned}$$

$$\begin{aligned}
\rho_1 & \left\{ (\dot{a}_1(t) + 2\omega b_1(t)) \cos \chi \omega t - kx + (\dot{b}_1(t) - 2\omega a_1(t)) \sin \chi \omega t - kx + 2ku_1^{(0)} a_1(t) \sin \chi \omega t - kx \right. \\
& - 2ku_1^{(0)} b_1(t) \cos \chi \omega t - kx + \frac{1}{4} \eta_0^2 (u_1^{(0)} \gamma k - \gamma \omega \{ e^{2\gamma} - e^{-2\gamma} \} \sin[\chi \omega t - kx]) \\
& \left. + \frac{1}{8} \eta_0^2 (2u_1^{(0)} \omega k - \omega^2 + \gamma^2 - k^2 u_1^{(0)\Sigma} \{ e^{2\gamma} + e^{-2\gamma} + 2 \} \cos[\chi \omega t - kx]) \right\}, \\
= & \rho_2 \left\{ (\dot{a}_2(t) + 2\omega b_2(t)) \cos \chi \omega t - kx + (\dot{b}_2(t) - 2\omega a_2(t)) \sin \chi \omega t - kx + 2ku_2^{(0)} a_2(t) \sin \chi \omega t - kx \right. \\
& - 2ku_2^{(0)} b_2(t) \cos \chi \omega t - kx + \frac{1}{4} \eta_0^2 (u_2^{(0)} \gamma k - \gamma \omega \{ e^{2\gamma} - e^{-2\gamma} \} \sin[\chi \omega t - kx]) \\
& \left. + \frac{1}{8} \eta_0^2 (2u_2^{(0)} \omega k - \omega^2 + \gamma^2 - k^2 u_2^{(0)\Sigma} \{ e^{2\gamma} + e^{-2\gamma} + 2 \} \cos[\chi \omega t - kx]) \right\}. \quad (14)
\end{aligned}$$

用分离变量法解之得

$$a(t) = \alpha_1 e^{-\gamma_2 t} + \alpha_2 e^{\gamma_2 t} + a_0 \eta_0^2 + a_1 \eta_0^2 e^{2\gamma} + a_2 \eta_0^2 e^{-2\gamma}, \quad (15)$$

$$b(t) = \beta_1 e^{-\gamma_2 t} + \beta_2 e^{\gamma_2 t} + b_1 \eta_0^2 e^{2\gamma} + b_2 \eta_0^2 e^{-2\gamma}, \quad (16)$$

其中

$$\begin{aligned}
\frac{\rho_2 - \rho_1}{\rho_1 + \rho_2} &= A, & \frac{\rho_2 u_2^{(0)\Sigma} + \rho_1 u_1^{(0)\Sigma}}{\rho_1 + \rho_2} &= C_+, \\
\frac{\rho_2 u_2^{(0)} + \rho_1 u_1^{(0)}}{\rho_1 + \rho_2} &= B_+, & \frac{\rho_2 u_2^{(0)\Sigma} - \rho_1 u_1^{(0)\Sigma}}{\rho_1 + \rho_2} &= C_-, \\
\frac{\rho_2 u_2^{(0)} - \rho_1 u_1^{(0)}}{\rho_1 + \rho_2} &= B_-, & \gamma_2 &= 2 \sqrt{\omega^2 - 2\omega k B_+ + k^2 C_+}, \\
a_0 &= -\frac{k(3\omega^2 + \gamma^2)A - 6k\omega B_- + 3k^2 C_-}{16 - \omega^2 + 2\omega k B_+ - k^2 C_+},
\end{aligned}$$

$$a_1 = -\frac{3k(\omega^2 - \gamma^2)A - 2k\omega B_- + k^2 C_-}{32(\gamma^2 - \omega^2 + 2\omega k B_+ - k^2 C_+)}$$

$$a_2 = -\frac{k(3\omega^2 + 5\gamma^2)A - 6k\omega B_- + 3k^2 C_-}{32(\gamma^2 - \omega^2 + 2\omega k B_+ - k^2 C_+)}$$

$$\alpha_1 = -\eta_0^2 \frac{\gamma_2 a_0 + a_1(\gamma_2 - 2\gamma) + a_2(\gamma_2 + 2\gamma)}{2\gamma_2}$$

$$\alpha_2 = -\eta_0^2 \frac{\gamma_2 a_0 + a_1(\gamma_2 + 2\gamma) + a_2(\gamma_2 - 2\gamma)}{2\gamma_2}$$

$$b_1 = -\frac{3k}{16} \frac{\chi(\omega A - kB_-)}{\gamma^2 - \omega^2 + 2\omega k B_+ - k^2 C_+}$$

$$b_2 = -\frac{k}{16} \frac{\chi(\omega A - kB_-)}{\gamma^2 - \omega^2 + 2\omega k B_+ - k^2 C_+}$$

$$\beta_1 = -\eta_0^2 \frac{b_1(\gamma_2 + 2\gamma) + b_2(\gamma_2 - 2\gamma)}{2\gamma_2}$$

$$\beta_2 = -\eta_0^2 \frac{b_1(\gamma_2 - 2\gamma) + b_2(\gamma_2 + 2\gamma)}{2\gamma_2}$$

$\alpha_1, \alpha_2, \beta_1, \beta_2$ 是二次谐波 ($2k = k + k$) 的线性增长幅度系数, a_0 是二次谐波 ($0k = k - k$) 的模耦合增长幅度, a_1, a_2, b_1, b_2 是二次谐波 ($2k = k + k$) 的模耦合增长幅度系数。

3. 数值模拟

数值模拟使用非均匀和活动网格的计算程序 LARED-S^[6], 流体计算采用六阶相位误差的 Flux-Corrected-Transport (FCT) 算法^[7], 在均匀网格区达二阶精度. 在界面附近密分网格, 密分网格区两边的网格逐渐放大. 用 LARED-S 程序计算了线性和非线性 RM 不稳定性、经典和烧蚀 RT 不稳定性^[8-10], 计算结果和线性理论、国外的实验结果和数值模拟结果符合得很好。

3.1. 线性部分

为验证 LARED-S 程序计算 KH 不稳定性的可靠性, 我们首先计算 KH 不稳定性的线性增长率. 计算条件为 $\rho_1 = 1.0 \text{ g} \cdot \text{cm}^{-3}$, $\rho_2 = 0.1 \text{ g} \cdot \text{cm}^{-3}$, $U_1 = 2.0 \text{ cm} \cdot \mu\text{s}^{-1}$, $U_2 = -2.0 \text{ cm} \cdot \mu\text{s}^{-1}$, 扰动波长 $\lambda = 40 \mu\text{m}$.

线性理论给出 $|\eta| = \frac{1}{2} \eta_0 (e^\gamma + e^{-\gamma})$, 其中 η_0 是初始扰动振幅, $|\eta|$ 是 t 时刻的基模振幅, γ 是线性增长率, 只要知道任何两个时刻的基模振幅就能得到增长率 γ . 在小扰动阶段我们选择不同时刻的基模振幅来计算 γ , 计算结果见表 1, 增长率是通过

求解括号里两个不同时刻基模振幅的方程组得到的.

表 1 不同时刻的基模振幅

编号	时刻 t/ns	基模振幅 $ \eta /\mu\text{m}$	增长率 γ/ns^{-1}
A	0.4384	0.3307	(A, E) 1.8072
B	0.5255	0.3728	(B, F) 1.7910
C	0.6127	0.4206	(C, G) 1.7767
D	0.7000	0.4797	(D, H) 1.7444
E	0.7873	0.5506	
F	0.8743	0.6308	
G	0.9613	0.7248	
H	1.0500	0.8334	

KH 不稳定性线性增长经典公式为

$$\gamma_c = \frac{2\pi}{\lambda} \frac{|U_1 - U_2|}{\rho_1 + \rho_2} \sqrt{\rho_1 \rho_2}$$

代入计算条件得 $\gamma_c = 1.8063 \text{ ns}^{-1}$, 表 1 计算得到的增长率的平均值为 $\bar{\gamma} = 1.7800$, 模拟值小于理论值, 相对误差为 0.014.

线性理论与数值计算结果的比较, 表明了模拟程序的可靠性. 对不可压流体绝热指数 γ 应该取为无穷大, 但这无法计算, 模拟中用增大 γ 的办法来近似流体的不可压缩性. 本文的计算中 γ 取为 10. γ 值的有限, 界面垂直方向和平行方向计算网格有限, 都会导致增长率的下降.

3.2. 二次谐波产生

模拟条件为 $\rho_1 = 1.0 \text{ g} \cdot \text{cm}^{-3}$, $\rho_2 = 0.1 \text{ g} \cdot \text{cm}^{-3}$, $U_1 = 2.0 \text{ cm} \cdot \mu\text{s}^{-1}$, $U_2 = -2.0 \text{ cm} \cdot \mu\text{s}^{-1}$, 扰动波长 $\lambda = 40 \mu\text{m}$. 图 1 给出了基模和二次谐波振幅随时间的变化, 图中纵坐标(振幅)取的是自然对数坐标.

由图 1 可以看出, 在前一阶段 (0—1.0 ns), 也就是小扰动阶段, 基模振幅随时间按指数变化, 即扰动随时间线性增加, 线性理论在这个阶段是成立的. 线性理论能很好的刻画扰动的发展. 在中间阶段 (1.0—2.1 ns), 随着时间的延长, 基模振幅增长减缓, 扰动越来越偏离线性增长, 基模出现非线性饱和, 二次谐波有较大的发展, 这一时期正是低阶谐波产生的时期. 线性理论在这个阶段不再成立, 弱非线性理论可以描绘扰动的发展. 后一阶段 (2.1 ns 以后), 二次谐波迅速发展, 其振幅和基模振幅相当, 甚至超过基模振幅, 微扰理论不再适用, 扰动进入强非线性阶段. 中间阶段基模增长率下降的原因是, 二次谐波相位和基模相反, 对增长率起负反馈作用, 二次

谐波的增长导致基模增长变慢.

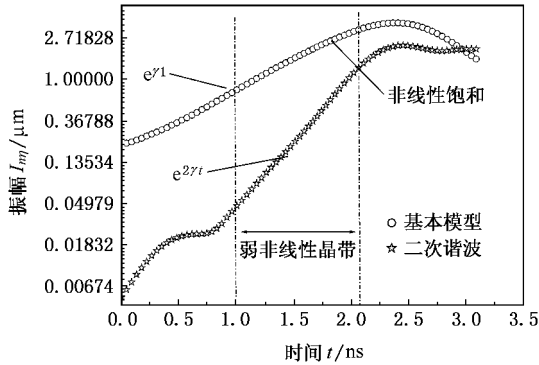


图 1 基模和二次谐波随时间的变化

第二节得到的 $\eta^{(2)}$ 的表达式过于复杂,为了便于检验我们的理论,这里仅取 $e^{2\gamma t}$ 项而忽略其他较小的项,得

$$\eta^{(2)} = \eta_0^2 \sqrt{a_1^2 + b_1^2} \sin \left[2(\omega t - kx) + \arctg \frac{a_1}{b_1} \right] e^{2\gamma t},$$

则二次谐波振幅为 $|\eta^{(2)}| = \eta_0^2 \sqrt{a_1^2 + b_1^2} e^{2\gamma t}$, 同样

$\eta^{(1)}$ 只取 $e^{\gamma t}$ 项, 即 $\eta^{(1)} = \frac{1}{2} \eta_0 \cos(kx - \omega t) e^{\gamma t}$, 则基模

振幅为 $|\eta^{(1)}| = \frac{1}{2} \eta_0 e^{\gamma t}$. 代入计算条件并利用第二节得到的 a_1 和 b_1 表达式, 得到二次谐波振幅为

$|\eta^{(2)}| = 0.02 \eta_0^2 e^{2\gamma t}$, 则二次谐波振幅与基模振幅平方的比值为 $|\eta^{(2)}| / |\eta^{(1)}|^2 = 0.08$, 对于 RT 不稳定性

性^[11]有 $|\eta^{(2)}| = \frac{1}{2} k |\eta^{(1)}|^2$, 则 $|\eta^{(2)}| / |\eta^{(1)}|^2 = \frac{k}{2}$, 代入计算条件得 $|\eta^{(2)}| / |\eta^{(1)}|^2 = 0.079$. KH 不稳定性

和 RT 不稳定性在这一点上是很相似的. 在弱非线性区我们取了不同时刻的基模和二次谐波振幅, 并计算了 $|\eta^{(2)}| / |\eta^{(1)}|^2$, 结果在表 2 中给出.

表 2 计算的 $|\eta^{(2)}| / |\eta^{(1)}|^2$ 的平均值为 0.07728, 弱非线性理论值为 0.08, 模拟值小于理论值, 相对误差为 0.034. 数值模拟中有限的计算网格数和绝热指数 γ 等会导致弱非线性理论结果与数值模拟结果产生偏差. 总体来说, 我们的弱非线性理论结果和模拟结果是符合的.

表 2 计算的 $|\eta^{(2)}| / |\eta^{(1)}|^2$ 的平均值为 0.07728, 弱非线性理论值为 0.08, 模拟值小于理论值, 相对误差为 0.034. 数值模拟中有限的计算网格数和绝热指数 γ 等会导致弱非线性理论结果与数值模拟结果产生偏差. 总体来说, 我们的弱非线性理论结果和模拟结果是符合的.

表 2 不同时刻的基模和二次谐波振幅

时间 t/ns	基模振幅 $ \eta^{(1)} /\mu\text{m}$	二次谐波振幅 $ \eta^{(2)} /\mu\text{m}$	$ \eta^{(2)} / \eta^{(1)} ^2$
0.8743	0.63078	0.03039	0.07639
1.0483	0.83344	0.05335	0.0768
1.2193	1.08856	0.09157	0.07728
1.3893	1.40778	0.15183	0.07661
1.5523	1.78000	0.25133	0.07932

4. 非线性阈值的讨论

习惯上定义基模增长偏离线性增长 10% 处的基模振幅为非线性阈值 η_s . 为了确定非线性阈值, 我们做了图 2, 计算条件与第二节和第三节相同. 由图 2 可以看出在 $t = 1.74 \mu\text{s}$ 时, 基模振幅理论预言为 $2.58 \mu\text{m}$, 模拟为 $2.30 \mu\text{m}$, 此时基模增长偏离线性增长已达 10%, 这时二次谐波的振幅为 $0.56 \mu\text{m}$. 由于扰动波长为 $40 \mu\text{m}$, 则初始单模情况下 KH 不稳定性的非线性增长阈值为 0.06λ , 二次谐波的振幅为基模振幅的 24%. 对于 RT 不稳定性, 基模增长偏离线性增长 10% 时, 基模振幅为 0.1λ , 二次谐波的振幅为基模的 30%^[12]. 可见 KH 不稳定性的非线性增

长阈值小于 RT 不稳定性, 而且二次谐波的增长也小于 RT 不稳定性.

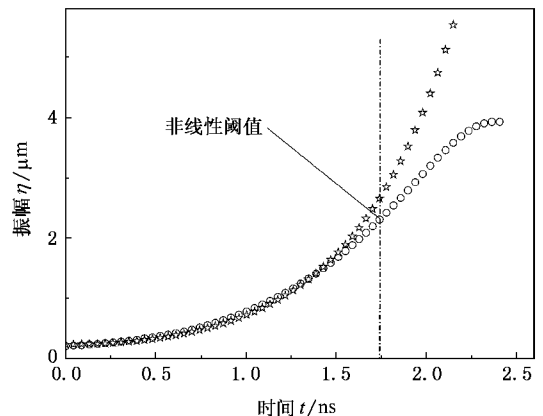


图 2 扰动振幅随时间的变化 (* 为线性理论结果, ◯ 为模拟结果)



5. 结 论

本文给出了 KH 不稳定性二次谐波产生的理论模型, 利用这个模型研究了初始单模扰动情况下 KH 不稳定性的二次谐波产生问题. 二次谐波增长

的弱非线性结果与 LARED-S 程序的模拟结果较好符合, 这说明我们建立的模型是可信的, LARED-S 程序在计算 KH 不稳定性方面是可靠的. 用二维模拟讨论了单模非线性增长的阈值问题, 模拟定出的不稳定性界面扰动振幅的非线性阈值为 0.06λ , 小于 RT 不稳定性.

- [1] Chandrasekhar S 1961 *Hydrodynamic and Hydromagnetic Stability* (London : Oxford University) p481 .
- [2] Yabe T ,Hoshino H ,Tsuchiya T 1991 *Phys. Rev. A* **44** 2756
- [3] Rikanati A 2003 *Phys. Fluids* **15** 3776
- [4] Youngs D L 1994 *Laser Part. Beams* . **12** 725
- [5] Wang J H 1994 *Nonstationary flow and shock for two-dimensional* (Beijing Science Press) p16 (in Chinese) [王继海 1994 二维非定常流和激波(北京 科学出版社)第 16 页]
- [6] Ye W H 1998 *High Power Laser and Particle Beams* **10** 403 (in Chinese) [叶文华 1998 强激光与粒子束 **10** 403]
- [7] Ye W H 1998 *Comp. Phys.* **15** 277 (in Chinese) [叶文华 1998 计算物理 **15** 277]
- [8] Ye W H ,Zhang W Y ,He X T 2002 *Phys. Rev. E* **65** 57401
- [9] Ye W H ,Zhang W Y ,He X T 2000 *Acta Phys. Sin.* **49** 762 (in Chinese) [叶文华、张维岩、贺贤士 2000 物理学报 **49** 762]
- [10] Wu J F , Ye W H ,Zhang W Y et al 2003 *Acta Phys. Sin.* **52** 1688 (in Chinese) [吴俊峰、叶文华、张维岩等 2003 物理学报 **52** 1688]
- [11] Jacobs J W ,Catton I 1988 *J. Fluid. Mech.* **187** 329
- [12] Ofer D 1996 *Phys. Plasmas* **3** 3073

Second harmonic generation by the Kelvin-Helmholtz instability for two-dimensional incompressible fluid^{*}

Wang Li-Feng¹⁾ Ye Wen-Hua^{2)†} Li Ying-Jun¹⁾

1 *China University of Mining and Technology ,Beijing 100083 ,China*

2 *Institute of Applied Physics and Computational Mathematics ,Beijing 100088 ,China*

3 *Department of Physics ,Zhejiang University ,Hangzhou 310028 ,China*

(Received 24 July 2007 ; revised manuscript received 13 September 2007)

Abstract

A model of second harmonic generation by Kelvin-Helmholtz (KH) instability is presented. Weakly nonlinear theoretical results of the growth of the second harmonic agree well with the results of the LARED-S code. Nonlinear threshold of the KH instability for the single mode perturbation is determined by two-dimensional simulation.

Keywords : Kelvin-Helmholtz instability , second harmonic generation , nonlinear threshold

PACC : 5235 , 4720 , 4735

^{*} Project supported by the National Natural Science Foundation of China (Grant Nos. 10475011 ,10474137) and The National Basic Research Program (973 Program) (Grant No. 2007CB815100).

[†] Corresponding author. E-mail : ye_wenhua@iapcm.ac.cn